分子を自在につなげる

河 内 岳 大 Takehiro KAWAUCHI

理工学部物質化学科 准教授 Associate Professor, Department of Materials Chemistry



1. はじめに

専門分野を問われたとき、筆者は「高分子合成」 と答えることにしている. 化学系の方ならば十分だ が、そうではない場合、身近にあるプラスチック製 品を指して「この研究をしています」と説明する (逃げる?) ことが多い、幸い、ペットボトル、パ ソコンやプリンタの筐体、まさにこの文章を打ち込 んでいるキーボードなどなど、例を示すのに事欠く ことはない. プラスチックに代表される高分子は身 の回りに溢れ、生活を支えているが、溢れているの はなにも「身の回り」だけではない、我々の身体に は無数のタンパク質や DNA などの生体高分子が含 まれ、それらは生命機能の根幹を成している. な ぜ、"高"分子なのだろうか、高分子とは、多数の 原子・分子がつながったものであるが、この「つな がり」により現れてくる様々な特性がある. 例え ば、飽和炭化水素の場合、炭素数が1のメタンはど れだけ集めても当然気体であるが、炭素数 1000 を 超えてつなげたポリエチレンは柔軟で丈夫なフィル ムとなり、ビニール袋として利用される。また、ヌ クレオチド(アデニン,グアニン,チミン,シトシ ン)が一次元につながった DNA は、このヌクレオ チドの並び順によって情報を記録し、遺伝を担う.

"つなげる"ことで分子はより複雑な表情を見せ、様々な機能を獲得することができる。筆者はこれまでに、機能構築の最小単位である原子・分子を精密に連結する技術(精密重合)を駆使して、構成単位からは想像できない機能を発現する新しい高分子の開発に取り組んできた。本稿タイトル「分子を自在につなげる」は筆者も含めた高分子合成屋の目標であり、その頂は遥か遠い。登山口から間もない若輩者であるが、自身の足跡(あしあと)を紹介したい。

2. 分子を精密につなげる: 精密重合による一次構造制御

合成高分子はモノマーと呼ばれる低分子化合物をつなげることで得られる。この「つなげる」反応のことを重合という。分子量、末端基、モノマーユニットの順番など、化学結合によって決定する構造を合成高分子における一次構造という。一次構造は重合したときに決定する構造であり、分解などの別の反応が起こらない限り変化することはない。この一次構造を厳密に制御する重合系の研究は、1956年にNature 誌に掲載されたSzwarcの論文「'Living' Polymers」を大きなブレイクスルーとして発展した」。60年余り経った今日では、モノマーの種類に

よって最適な重合系を選択することで、ある程度の 一次構造制御ポリマーを得ることができるようにな った. 分子量制御や停止末端への官能基の導入, ブ ロック共重合体の合成などは成長反応が容易に失活 する系では達成できず、成長活性種が重合中"生き ている"ことが要求されるため、これらの一次構造 (分子量、末端基、モノマーユニットの順番)を制 御する重合系はリビング重合と呼ばれる(厳密に は、「不可逆の停止と不可逆の連鎖移動が起こらな い連鎖成長重合」がリビング重合と定義される). リビング重合で制御できる一次構造以外に、もう一 つ高分子の特性を左右する重要な一次構造がある. それは、モノマーユニット間の立体化学であり、立 体規則性という. 図1にメタクリル酸メチル (MMA) の重合で得られるポリメタクリル酸メチル (PMMA) を例として挙げている. PMMA では、主 鎖を構成するのはメチレンと4級炭素である. その 4級炭素にメチル基とメチルエステル基が側鎖とし て結合した化学構造であるため、繰返し単位の配置 で2種の立体異性が生じる.2つの繰返し単位(2 連子)で立体配置が同じものをメゾ (m). 逆のも のをラセモ (r) という. この立体配置が規則正し いポリマーを立体規則性ポリマーといい、主鎖を平 面ジグザグ(全トランス)型として表記した場合に mmmmm…となるイソタクチック(it)ポリマー, および rrrrr…となるシンジオタクチック (st) ポリ

マーが典型的な例として知られている。これら立体 規則性ポリマーが得られる重合を立体特異性重合と いい、PMMA についても、it-体と st-体を重合条件 で作り分けることができる。it-体と st-体は、化学 構造は同じで立体構造のみが異なる立体異性体であ るが、結晶構造、ガラス転移点、融点、溶解性など の基礎物性が全く異なるため、ポリマーハンドブッ クでは別種のポリマーとして取り扱われている。

分子量、末端基、モノマー連鎖、さらには立体規 則性までを同時に制御する重合系が立体特異性リビ ング重合である。筆者らは、MMA の立体特異性リ ビング重合で得られるポリマーアニオンを [C60] フラーレン (C60) でエンドキャップすることで, 停止末端に C60 ユニットを有する it-PMMA を合成 し t^{2} . ポリマーアニオン (エノレートアニオン) の反応性が低いため、フラーレン導入量は40%程 度であったが、末端 C60 の極性溶媒中での会合現象 を利用することで Coo を有するポリマーのみを単離 することに成功した. 精製後に得られたポリマー は, 高分子量 (10万以上), 狭い分子量分布 (Mw/ $M_n = 1.14$), 高立体規則性 (mm = 98%), C_{60} 導入率 100% の精密構造制御ポリマーであり、筆者自慢の 一品である (図2). 原子間力顕微鏡 (AFM) によ る一分子観察では、ポリマー鎖末端に結合した C60 を明瞭に観察することができる. このポリマーは, 後述の主鎖ラセン (螺旋) によるステレオコンプレ

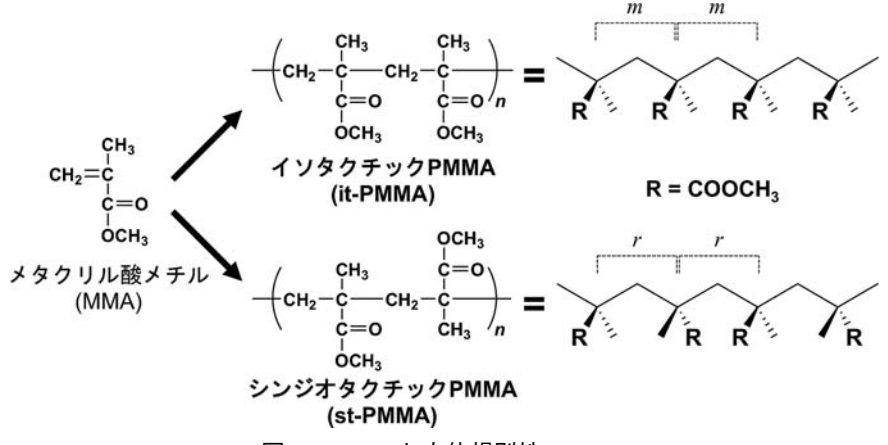


図1 MMA と立体規則性 PMMA

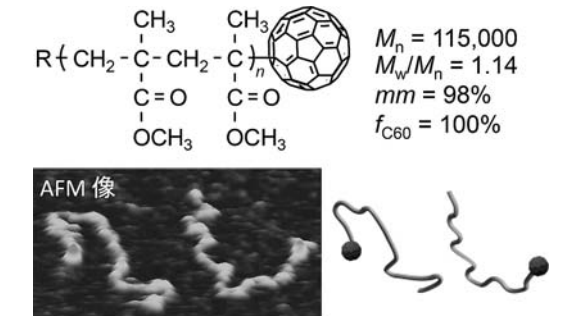


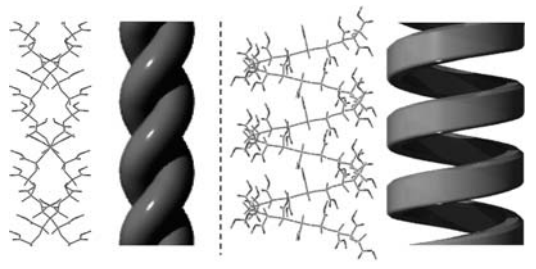
図 2 it-PMMA-C₆₀の AFM 高さ像

ックス形成と末端 C_{60} の自己会合の二つのモードの組織化能を有しているため超分子構造体のビルディングブロックとして機能し、 C_{60} 会合体をコアとするナノ粒子やナノネットワークなどを構築することができる $^{3)}$.

3. 高分子ラセン:

二次構造制御による分子機能の発現

DNA やタンパク質などの生体高分子は厳密に制 御された一次構造を有している。その精緻にプログ ラムされた一次構造に従い. α-ヘリックスや β-シ ート、二重ラセンなどの二次構造を形成し、時空間 特異的に組織化することで極めて高度な生命機能を 発現する. 一次構造制御の次のステップは、二次構 造(高分子鎖1本で記述される空間的配座(コンフ ォメーション)) の制御である. 1951 年に Pauling によるタンパク質の α-ヘリックス構造, 1953 年に は Watson と Crick による DNA 二重ラセンの構造 が提唱されたのはあまりに有名だが、その直後の 1955 年には Natta らがチーグラー触媒によるプロ ピレンの立体特異性重合を報告し、得られたイソタ クチックなポリプロピレンが結晶状態でラセン構造 を形成していることを示した4). この it-ポリプロピ レンは、モノマーユニット3つで1回転(3/1)の ラセン構造を形成する.一方,メタロセン触媒など で得られる st-ポリプロピレンは 2/1 ラセンの結晶 構造をとる. 一般的に、立体規則性ポリマーはラセ ン構造を形成し、結晶化するものが多い、結晶状態



it-PMMA 10/1 2重ラセン

st-PMMA 74/4 ラセン

図 3 it-PMMA と st-PMMA が形成するラセン 構造の分子モデルと模式図

でのラセンは決して珍しいものではないが, 2/1, 3/1、4/1 ラセンなど、タイトな1重ラセンである場 合がほとんどである.対して、立体規則性 PMMA は極めて特異的なラセンを形成する(図3). it-PMMA は 10/1 ラセンが 2 本絡み合い. 合成高分子 としては珍しい2重ラセン構造であることが X 線 回折(XRD) ならびに AFM による直接観察から明 らかにされている. 他方、st-PMMA のラセンは1 重だが、トルエンなどの溶媒存在下でのみ形成し、 74/4 (18.5 モノマーユニットで1回転)と非常にゆ るやかな構造をとる. そのラセンの内孔は直径約1 nm にもなり、溶媒分子はその内外に配置して共結 晶となる. また. it-体と st-体の組み合わせでもス テレオコンプレックスと呼ばれる高分子錯体を形成 する. ステレオコンプレックスの構造は, it-体の2 重ラセンのまわりを st-体のラセンが取り巻いた3 重ラセン構造(図3で示した it-体と st-体のラセン を足し合わせた構造) であることが熊木らにより明 らかにされている5).

3.1 高分子ラセンによるフラーレンの包接

筆者は st-PMMA の 74/4 ラセン構造がホスト分子として作用し、フラーレン類やピレンなどの多環芳香族炭化水素類を包接して結晶性の錯体を形成することを見出した 6 . 図 4 にその包接の様子を示している. C_{60} のトルエン溶液(図 4 a)に st-PMMA を加え、110 に加熱して均一溶液とする. このサン

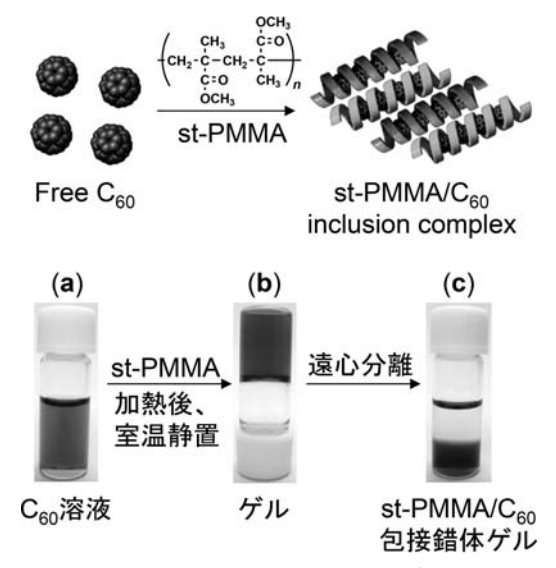
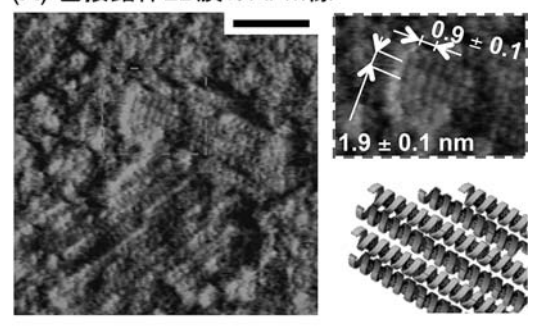


図 4 st-PMMA による C60 の包接

プルを室温まで徐冷するとゲル化が起こる(図4 b). このゲルを遠心分離により沈降させると, st-PMMA と C60 が包接錯体を形成しているため、ゲ ル部のみ C60 由来の濃紫に着色し、上澄み液は無色 透明となる (図4c). 「こんな簡単な実験で分子レ ベルのことが言えるのか?」と懐疑的な読者もおら れることと思うが、通常の高分子ゲルでは分子とし て溶解している C60 をトラップすることはなく, 上 澄みの着色は元の母液と変わらない. 減圧乾燥によ り溶媒であるトルエンを除去しても C60 の相分離は 見られず、均一な st-PMMA/C@ 包接錯体フィルム が得られる. フィルムの偏光顕微鏡観察. 示差走査 熱量測定及び XRD により、ラセン構造を維持した 結晶性錯体であることを確認している. Cm は凝集 力が極めて強く、相分離することなく高濃度フィル ムを得ることは極めて難しいが、本系では Coo 含量 23.5 wt%の高 C60 濃度フィルムを C60 の化学修飾無 しに得ることができる.

また、この st-PMMA/ C_{60} 錯体は、水面上で単分子膜(Langmuir-Blodgett 膜)としても形成させることができる。得られた LB 膜の AFM 観察ではラセン構造のバンドルが確認でき(図 5 A)、透過型電子顕微鏡(TEM)観察では C_{60} 分子が高分子結晶

(A) 包接錯体LB膜のAFM像



(B) 分子モデル(B3LYP/631(d))

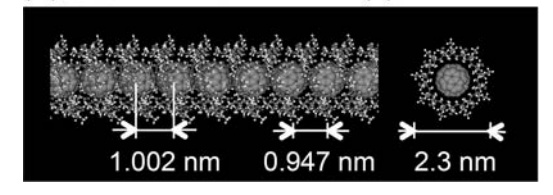


図 5 (A)水面上で形成させた st-PMMA/C₆₀ 包接錯体 LB 膜の AFM 像.

(B) 分子計算により得られた st-PMMA/C₀の 最適化構造.

中で一次元に配列していることも確認できる。 C_{60} を一次元に配列した材料としてはカーボンナノチューブの中に C_{60} が取り込まれたナノピーポッドが良く知られているが、st-PMMA/ C_{60} は安価に作製でき、そのプロセスでは高温・高真空を必要とせず、取扱いも容易である。最近、st-PMMA/ C_{60} フィルムを活性層として用いることで、一次元配列した C_{60} へのチャージ注入によるクーロン爆発を動作原理とする不揮発性メモリーデバイスが作製され、低次元フラーレン配列材料としての展開が示された 70 .

3.2 高分子ラセンによるサイズ認識:高次構造に よる協同効果

st-PMMA/フラーレン包接錯体は、 C_{60} だけでなく、 C_{70} 、 C_{84} などのサイズがより大きなフラーレン類を用いても得られる。これら包接錯体の XRD から、ゲスト分子のサイズに応じて st-PMMA ラセン構造がフレキシブルに変化していることが確認できた。そこで、 C_{60} と C_{70} が共存した場合の包接現象について調べたところ、サイズの差が僅かであるに

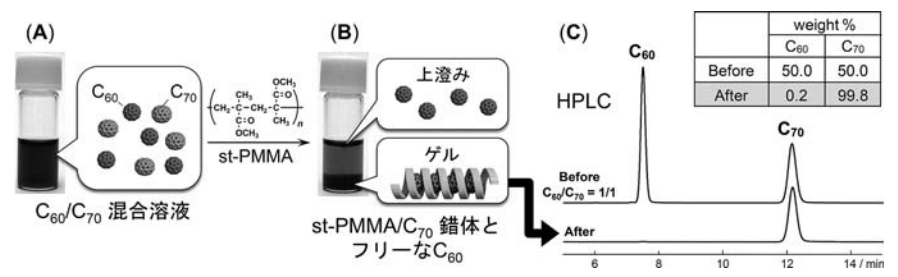


図 6 (A, B) C₆₀/C₇₀ 混合トルエン溶液中での st-PMMA 包接錯体ゲルの作製. (C) C₆₀/C₇₀ のトルエン溶液 (Before) と st-PMMA 包接錯体より単離したフラーレン (After) の HPLC 溶出曲線.

も関わらず、st-PMMA は極めて高い選択性で C70 と包接錯体を形成していることがわかった8). この 選択性を利用することで、C60/C70 等量混合物中か ら C70 の単離を行うことができ、1回の抽出操作で 純度 99.8 wt%の C70 が回収率 56% で得られる (図 6). また. 興味深いことに. あらかじめ st-PMMA/ C60 包接錯体ゲルを作製しておき、そこに C60 に対 して僅か1wt%のC70を添加するだけでほぼ全量 (99.7%) の C₆₀ が放出される. この現象は. 少量 の C₇₀ の包接でゲル中のラセン構造全体が協同的に 変化していることを示しており、ラセンが集合した 高次構造を考えなければ説明がつかない. まさに. 酵素と基質の相互作用における induced-fit モデル を彷彿とさせる. さらに、より大きなフラーレンと 錯形成し易いという特徴を利用すれば、たった1回 の包接錯体形成抽出を行うことで、煤のトルエン抽 出物 $(C_{60}: C_{70}: 高次フラーレン = 64: 27: 9)$ から, 高次フラーレン含量 95% 以上のフラーレン混合物 を得ることもできる.

フラーレンを包接する化合物としては、カリックスアレーン類やシクロデキストリン類をはじめ、様々な低分子ホストが開発されている. これらは「鍵」と「鍵穴」の関係で言い表されるように、ホスト分子はサイズが固定された空間を有し、そのサイズに当てはまるゲストのみが包接される. 一方、st-PMMAのラセン構造は、様々なサイズのフラーレン(C60, C70, C84…)を包接するだけでなく、異なるサイズのフラーレンが共存する場合にはサイズ識

別能を発現する(C_{60}/C_{70} 混合物では C_{70} が優先). これは、st-PMMA のラセンがゲスト分子に応じてフレキシブルにその内孔空間を変化させるためであり、ラセン構造特有の機能と言える.

3.3 高分子ラセンの巻き方向制御による光学活性

ラセン高分子の重要な機能として筆頭に挙げられ るのは、巻き方向(右巻き、左巻き)に起因したキ ラリティである。 岡本らは 1979 年に光学活性配位 子である (-)-スパルテインを用いてメタクリル 酸トリフェニルメチルのアニオン重合を行うこと で、巻き方向が一方向に制御されたラセン高分子を 不斉合成することに成功した9. この光学活性ポリ マーは液体クロマトグラフィー用のキラル固定相と して利用され、医薬品を含めた多くの鏡像異性体の 分離・分析に用いられている. st-PMMA ラセンの 向きを制御できれば、安価というだけでなく、分子 包接能に起因する新しい光学活性材料が期待できる (図7). 筆者らは、キラル化合物 (例えば、1-フェ ニルエタノール (1)) を共溶媒として用いること で、st-PMMA ラセンの巻き方向を制御することに 成功した^{5,10)}. 光学活性 st-PMMA/C₆₀ 包接錯体はゲ ルとして得られるので、ラセン誘起に用いた1は溶 媒洗浄により容易に除去できる. 1 除去後のゲルの 赤外領域円二色性測定 (VCD) では、PMMA の吸 収領域に CD が観測され、そのスペクトルは第一 原理計算の予測と良い一致を示す。また、紫外可視 円二色性 (ECD) スペクトルでは C60 の吸収領域

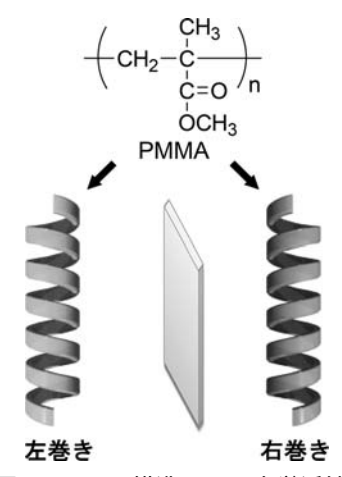


図 7 ラセン構造による光学活性.

(334 nm) に明瞭な誘起 CD が観測される. C_{60} は アキラル分子であるので、観測された誘起 CD は C_{60} が一方向に片寄った st-PMMA ラセンに包接され、キラルな環境下にあることに起因する. これは、st-PMMA ラセンから成るゲルがキラルな反応 場を提供できることを示唆しており、酵素を模倣した不斉触媒としての応用が期待できる.

この光学活性 st-PMMA ゲルを用いて、フラーレン煤からの高次フラーレンの抽出を行うと、高次フラーレン類の光学分割が可能となる。発表当時、リサイクル HPLC などを駆使しても C₈₄ までの光学分割が限界であったが、本手法によって、C₈₆、C₈₈、C₉₀、C₉₂、C₉₄、C₉₆の光学活性高次フラーレンを得ることが可能となった。光学分割に成功したキラル高次フラーレンを含め、光学活性 st-PMMA/フラーレン包接錯体は新しいキラルナノカーボンマテリアルとして位置付けることができる。

PMMA は安価な合成高分子であり、定規、水槽、照明のカバー、調味料入れなどとして利用されている。筆者は、そのような汎用高分子であっても、一次構造の精密制御を基盤として二次~高次構造を階層的に制御することで、分子包接、サイズ識別、光学活性、光学分割などの分子機能を発現することを示した。分子を精密に「つなげる」ことで発現する機能は、その化学構造からだけでは予測できない。

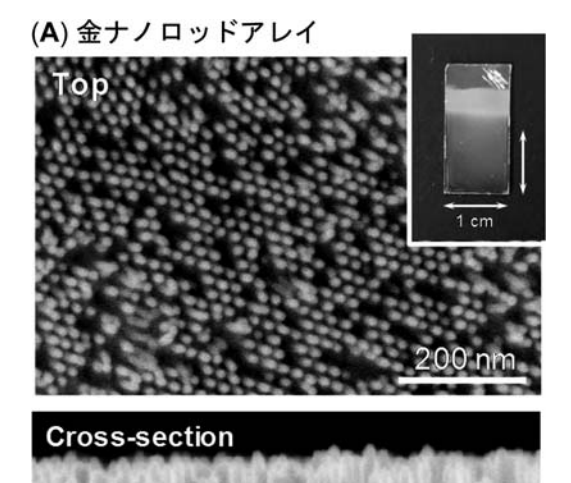
これが高分子合成の面白さである.

4. 分子を合目的に組み上げる:分子回路

4.1 高分子配線

折角の機会なので、もう少し拙文にお付き合いい ただきたい. 「分子を自在につなげる」ことができ れば、もちろん合目的につなげるだろう。例えば、 既存の電子部品を分子に置き換えて、電気回路を組 むことができれば・・・と考えた先人は当然いた. 分子の電子状態を巧みに利用する分子素子(あるい は分子回路) は、1974年に Aviram と Ratner によ って提案された金属電極間をドナー-アクセプター 構造の架空分子で架橋した Molecular Rectifier (分 子整流器)の理論研究に端を発する11)。当時の半導 体集積回路の集積度は数千個に過ぎず、分子素子に よるコンピューティングが夢見られたわけだが. 2018年現在、残念ながら筆者の周りに分子コンピ ユーターは見当たらない. 電極間を分子でつなげる 「分子回路」の研究は、金属細線の破断と再接触に よる電極間ナノギャップ作製法(MCBJ)や走査ト ンネル顕微鏡(STM)を用いた偶発的分子配線 (ギャップ間を、たまたま分子が架橋することでで きる配線) による単一分子計測が現在の主流となっ ている. また. 構造有機化学や超分子科学の分野で は、分子スイッチや分子メモリーなどの機能を冠す る分子が多数開発されてきたものの、そのほとんど は「フラスコの中」であり、電極に接続した回路に まで至っていない. 電極との接続及び集積化は分子 素子提案当時から続く課題であった。そんな中、彌 田は、安定的に分子と電極を接合し、それを規則的 に集積化することでグロス抵抗から配線分子の電導 度解析が可能な「分子グリッド配線」を提案し. 2011年にプロジェクトをスタートさせた. 筆者は このプロジェクトに参画し、六方格子状に規則配列 したナノ電極間を, π 共役系高分子鎖で重合配線す ることに成功した.

電極間を重合により高分子鎖で配線する・・・当 然,通常のマクロな電極を用いては不可能である.



200 nm

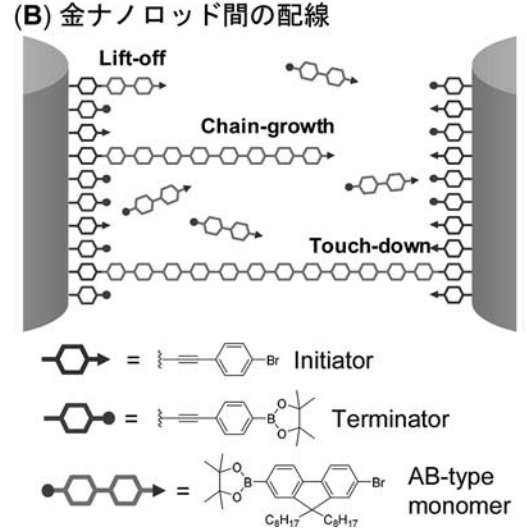


図8 (A) 金ナノロッドアレイの外観写真と SEM 像. ロッド高さ120 nm, ロッド直径12 nm, ロッド間距離17 nm, 表面密度10"個/cm². (B) 金ナノロッド間の重合配線の模式図.

そこで、ブロックコポリマーの超薄膜が形成するミクロ相分離構造をテンプレートとして用いて、金電極がナノスケールで六方格子状に配列した金ナノロッドアレイ電極を作製した(図8A)、得られた基板はナノ構造化金の表面プラズモン共鳴現象のため赤色の外観を呈する。重合配線は、エチニル基を介して金表面に固定化した開始剤から鈴木-宮浦クロ

スカップリング反応に基づいた AB 型フルオレンモノマーの触媒移動型連鎖縮合重合を開始し、成長したポリマー鎖を隣接ナノ中継電極の表面停止剤によって停止させることで行った(図8B)。ナノ電極間をドナー性の高分子鎖であるポリフルオレンで配線できていることを SERS 測定ならびに剥離ポリマーの SEC 測定により確認している。作製した「分子グリッド配線基板」は、マクロな電気測定(グロス抵抗測定)により配線分子1本の電気伝導度を評価できる回路として機能することが理論的にわかっており、現在、その実証実験を進めている。

4.2 分子傾斜接合

金属/有機や p 型/n 型など, 異種物質界面の設計は分子回路における要素技術の一つである. シリコン半導体の pn 接合に見られるように, ダイオード性などの機能を発現する異種接合は分子デバイス構築のキーテクノロジーに成り得る. 筆者らは, 有機半導体高分子の一次構造制御によるキャリア輸送制御について検討している. 着目している構造は樹状構造である. 樹状構造とは, 樹木の枝のように幹から遠ざかるにつれ枝分かれしていく構造であり, 単純な一次構造であるが, その始点を決めることで構成ユニットの空間分布に勾配をつくることができ, 高次構造制御に直結する.

有機分子中に発生したキャリアの輸送方法として、酸化還元電位の異なるユニットを連結した多段階電子移動が提案されているが、電位差に相当するエネルギーをロスすることになる。一方、同じレドックス分子ユニットを連結し、ホッピングに基づいて輸送を行う機構ではエネルギーロスはないものの、逆移動を抑制することはできない。著者らは、分子ユニットを樹状に配置して傾斜配列させれば、発生したキャリアを電位エネルギーの損失なく、界面から離れる方向にキャリアを輸送できるのではないかと考えた(図9)。この樹状構造に基づくエントロピー駆動型のキャリア輸送を原理実証するため、電子受容体として良く知られているビオローゲ

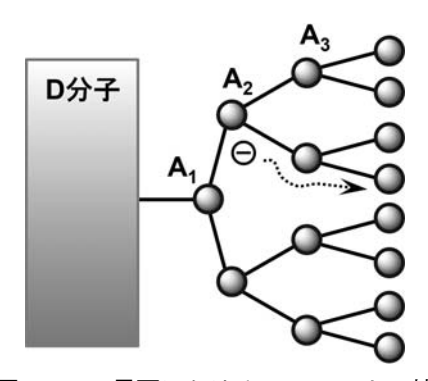
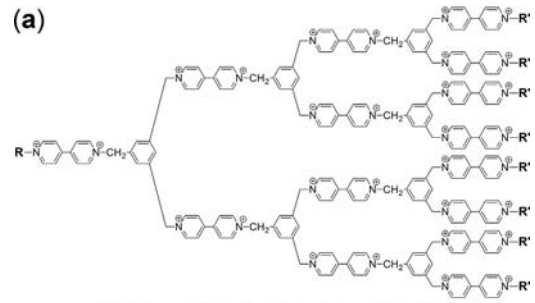


図9 D-A 界面における A ユニットの枝分かれ状配置. A_2 ユニット上に電荷がある場合, A_1 への経路は 1 本であるのに対し, A_3 への経路は 2 本あるため, 確率的には経路数が多い A_3 へ輸送される.

ン(1,1'-二置換-4,4'-ビピリジニウム塩)を樹状に連結し¹²⁾、その頂点部に電子供与体であるピレンを連結した分子について溶液中でのレーザー励起時間分解分光測定を行った¹³⁾. その結果、樹状構造の世代の増加に従い、ビオローゲンユニット間の自己電子交換(self-exchange)によりピレンへの逆電子移動が抑制されることがわかった. 第3世代のものでは50 ps 以上の寿命を持つカチオンラジカルの濃度が約10倍にもなり、想定した樹状構造によるキャリア輸送が確認できた.

次に、樹状配列分子の電極上への集積化について 検討した¹⁴⁾. 第 3 世代のビオローゲン樹状構造の頂 点部 (A 3) もしくは基底部 (B 3) にアンカーユニ ットとして ω-メルカプトデシル基 (-(CH₂)₁₀-SH) を導入し、溶液中における金表面への吸着挙動を調 査したところ、構造特異的な自己組織化単分子膜 (SAM) が得られることがわかった (図 10). 樹状 という極めて嵩高い構造をテイルに有する A 3 で も単分子膜が得られ、その構造は、ω-メルカプトデ シル部が疎に金表面上に結合し、接合部位から最も 離れた位置にあるビオローゲンユニットが密に組織 化したものであった。一方、組織化部位が逆転した B 3 では最基底部を構成する 8 つのビオローゲンが 最密充填構造をとり、その他のビオローゲンが勾配 を持って積み上がったピラミッド型であった。すな



A3 : R = -(CH₂)₁₀-SH, R' = -CH₂CH₃ **B3** : R = -CH₂CH₃, R' = -(CH₂)₁₀-SH

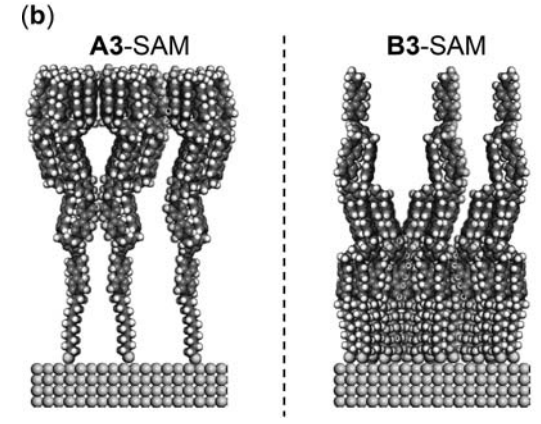


図 10 (a) 第3世代ビオローゲン樹状配列分子 の化学構造.

(b) ω-メルカプトデシル基を頂点部または基底部に導入した第3世代ビオローゲン樹状配列分子が形成する SAM の模式図.

わち、アンカーユニットの導入位置が異なるビオローゲン樹状配列分子の自己組織化により、金表面上のビオローゲンユニットを分子レベルで精密に3次元配列(=電極界面に垂直な方向に密度傾斜)することに成功した. 従来の SAM 研究は、可能な限りテイルの影響を小さくして緻密な組織化構造の構築を目指していたのに対し、本研究は樹状骨格という巨大かつ構造異方性の強いテイルを用いることで接合界面の構造制御に成功した例である. 現在、これら単分子膜の電子輸送性、修飾電極としての特性評価、さらには樹状構造の pn 接合界面への作りこみについて検討している.

5. おわりに

ゆがんだ歯車では時計は動かない. 精巧なネジや 歯車をただ寄せ集めても時計にならない。精巧な部 品をつくり、それを組み上げるのは「ものづくり」 において当たり前のことである. 構造制御が確立し ている生体高分子では、DNA 折り紙などの分子技 術が既に「ものづくり」の域に達している(ように 見える). 合成高分子では、「分子を自在につなげ る」のはまだまだ難しいものの、様々な機能性の構 造制御高分子が精密重合を駆使して開発されてい る. 本稿で紹介したのは筆者のこれまでの研究であ り、あくまで一例でしかないが、分子をつなげる 「ものづくり」を感じとっていただければ幸いであ る. 自身の研究を振り返ることができ、このような 機会を与えて下さった編集委員の先生方に感謝申し 上げる。さて、冒頭に返って恐縮だが、ペットボト ルを手に持ち、「この研究をしています」は端折り すぎである. とかく説明責任が求められる昨今. 専 門家ではない人に上手に説明するスキルは必須であ ろう. 学生諸子には是非. 自分の研究を家族に説明 することにチャレンジして欲しい. 「大学で何して るの?」「別に・・・」ではダメである.翻って我 が身であるが、娘がもうすぐ5歳、そろそろパパの 仕事に興味を持つだろうか··・試練の日は近い.

参考文献

- 1) Szwarc, M. Nature 1956, 178, 1168.
- Kawauchi, T.; Kumaki, J.; Yashima, E. J. Am. Chem. Soc. 2005, 127, 9950.
- 3) Kawauchi, T.; Kumaki, J.; Yashima, E. J. Am. Chem. Soc. 2006, 128, 10560.
- 4) Natta, G.; Pino, P.; Corradini, P.; Danusso, F.; Mantica, E.; Mazzanti, G.; Moraglio, G. *J. Am. Chem. Soc.* 1955, 77, 1708.
- 5) Kumaki, J.; Kawauchi, T.; Okoshi, K.; Kusanagi, H.; Yashima, E. *Angew. Chem. Int. Ed.* 2007, 46, 5348.
- 6) Kawauchi, T.; Kumaki, J.; Kitaura, A.; Okoshi, K.; Kusanagi, H.; Kobayashi, K.; Sugai, T.; Shinohara, H.; Yashima, E. *Angew. Chem. Int. Ed.* 2008, 47, 515.
- 7) Qi, S.; Iida, H.; Liu, L.; Irle, S.; Hu, W.; Yashima, E. *Angew. Chem. Int. Ed.* 2013, *52*, 1049.
- Kawauchi, T.; Kitaura, A.; Kawauchi, M.; Takeichi,
 T.; Kumaki, J.; Iida, H.; Yashima, E. J. Am. Chem. Soc.
 2010, 132, 12191.
- 9) Okamoto, Y.; Suzuki, K.; Ohta, K.; Hatada, K.; Yuki, H. J. Am. Chem. Soc. 1979, 101, 4763.
- 10) Kawauchi, T.; Kitaura, A.; Kumaki, J.; Kusanagi, H.; Yashima, E. *J. Am. Chem. Soc.* 2008, *130*, 11889.
- 11) Aviram, A.; Ratner, M. A. Chem. Phys. Lett. 1974, 29, 277
- 12) Kawauchi, T.; Oguchi, Y.; Sawayama, J.; Nagai, K.; Iyoda, T. *Macromolecules* 2015, *48*, 8090-8097.
- Gong, Z.; Bao, J.; Nagai, K.; Iyoda, T.; Kawauchi,
 T.; Piotrowiak, P. J. Phys. Chem. B 2016, 120, 4286.
- 14) Kawauchi, T.; Oguchi, Y.; Nagai, K.; Iyoda, T. Sci. Rep. 2015, 5, 11122.